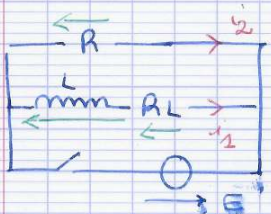


## 1. Surtension avec bobine – CCINP



1)  $k$  est fermé  $L \rightarrow$

$$i_{10} = -\frac{E}{R_L} \quad i_{20} = -\frac{E}{R}$$

$$i_{10} = -3,0 \text{ A} \quad i_{20} = -0,30 \text{ A}$$

2) Pour  $t > 0$   $k$  ouvert  $\Rightarrow i_2 = -i_1$

$$L \frac{di_1}{dt} + R_L i_1 + R i_1 = 0$$

$$\frac{di_1}{dt} + \frac{R_L + R}{L} i_1 = 0$$

$$\tau = \frac{L}{R + R_L} \quad i_1(t) = i_{10} e^{-t/\tau}$$

3)  $u(t) = -R i_1 = \frac{ER}{R_L} e^{-t/\tau}$

4)  $\frac{R}{R_L} = 10 \quad u(0^+) = 10 E > E$

5)  $E_L(0) = \frac{1}{2} L i_{10}^2 = \frac{1}{2} L \frac{E^2}{R_L^2} = E_{\text{tot}}(0)$

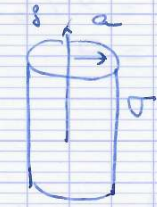
$$E_L(t \rightarrow +\infty) = 0 = E_{\text{tot}}(+\infty)$$

$$E_f = \int_0^{+\infty} (R + R_L) i_1^2 e^{-2t/\tau} dt$$

$$= (R + R_L) \frac{E^2}{R_L^2} \frac{L}{R + R_L} \cdot \frac{1}{2} \left[ -e^{-2t/\tau} \right]_0^{+\infty}$$

$$= \frac{1}{2} L \frac{E^2}{R_L^2} = E_{\text{tot}}(0) \quad \text{OK}$$

## 2. Cylindre chargé – CCINP



Repère cylindrique  $O \vec{e}_r \vec{e}_\phi \vec{e}_z$

$$M(r, \phi, z)$$

1) Invariances  $\vec{r} \rightarrow \vec{E}(r)$

( $M \vec{e}_r \vec{e}_\phi$ ) et ( $N \vec{e}_r \vec{e}_z$ ) plans de sym

$$\rightarrow \vec{E}(M) = E(r) \vec{e}_r$$

2) Th de Gauss  $\Phi(\vec{E}) = \oint \vec{E} \cdot d\vec{S} = \frac{q_{\text{int}}}{\epsilon_0}$

Surface de Gauss = cylindre de rayon  $r$  et de hauteur  $h$  fermé par 2 disques

$$\Phi(\vec{E}) = \int_{S_g} \vec{E} \cdot d\vec{S} = 2\pi r h E(r)$$

Pour  $r > a \quad q_{\text{int}} = 2\pi a \sigma h$

Il faut  $2\pi r h E(r) = \frac{2\pi a h \sigma}{\epsilon_0}$

$$\vec{E}(M) = \frac{\sigma}{\epsilon_0} \frac{a}{r} \vec{e}_r$$

Or  $\vec{E}(M) = -\text{grad } V(M)$

ou  $\vec{E}(M) \cdot d\vec{on} = -dV(M)$

$$dV(M) = -\frac{\sigma}{\epsilon_0} \frac{a}{r} dr$$

$$V(r) = -\frac{\sigma a}{\epsilon_0} \ln \frac{r}{a} + cte.$$

$$V(r) = \frac{\sigma}{\epsilon_0} \ln \frac{a}{r} + V(a)$$
 3) Pour  $r < a$ ,  $q_{ext} = 0$   

$$\vec{E}(r) = \vec{0}$$

$$V(r) = cte' = -\frac{\sigma a}{\epsilon_0} \ln a + cte.$$

$$= -V(a).$$

### 3. Bobinage torique

1.  $M$  étant un point quelconque de l'espace, le plan  $(M, \vec{e}_r, \vec{e}_z)$  est un plan de symétrie pour les courants, donc un plan d'antisymétrie pour le champ magnétique.  $\vec{B}$  est donc colinéaire à  $\vec{e}_\theta$ . Compte tenu de l'invariance par rotation autour de l'axe  $Oz$ , le champ magnétique est de la forme

$$\vec{B}(M) = B(r, z) \vec{e}_\theta$$

Soit  $\mathcal{C}$  un cercle d'axe  $Oz$  et de rayon  $r$ , orienté par  $\vec{e}_\theta$ ; le théorème d'Ampère s'écrit

$$\oint_{\mathcal{C}} \vec{B} \cdot d\vec{l} = \mu_0 I_C$$

où  $I_C$  est l'intensité enlacée par ce cercle. La circulation de  $\vec{B}$  est

$$\oint_{\mathcal{C}} \vec{B} \cdot d\vec{l} = 2\pi r B(r, z)$$

tandis que l'intensité enlacée est

$$I_C = \begin{cases} Ni & \text{si } \mathcal{C} \text{ est à l'intérieur de la bobine} \\ 0 & \text{si } \mathcal{C} \text{ est à l'extérieur de la bobine} \end{cases}$$

On en déduit le champ magnétique

$$\vec{B} = \begin{cases} \frac{\mu_0 Ni}{2\pi r} \vec{e}_\theta & \text{si } \mathcal{C} \text{ est à l'intérieur de la bobine} \\ 0 & \text{si } \mathcal{C} \text{ est à l'extérieur de la bobine} \end{cases}$$

2. Le flux propre dans le bobinage est

$$\Phi_0 = N\phi_1$$

où  $\phi_1$  est le flux du champ propre à travers une spire, soit

$$\begin{aligned} \phi_1 &= \int_{\ell-a}^{\ell+a} \frac{\mu_0 Ni}{2\pi r} \vec{e}_\theta \cdot \vec{e}_\theta 2a dr \\ &= \frac{\mu_0 N i a}{\pi} \ln \frac{\ell+a}{\ell-a} \end{aligned}$$

On en déduit

$$\Phi_0 = \frac{\mu_0 N^2 i a}{\pi} \ln \frac{\ell+a}{\ell-a}$$

3. Le coefficient d'inductance propre de la bobine est défini par

$$\Phi_0 = L i$$

soit

$$L = \frac{\mu_0 N^2 a}{\pi} \ln \frac{\ell+a}{\ell-a}$$

Numériquement, on obtient  $L = 0,33 \text{ mH}$

4. Imaginons que le fil est parcouru par un courant d'intensité  $I$ . Le champ magnétique créé par le fil est

$$\vec{B}' = \frac{\mu_0 I}{2\pi r} \vec{e}_\theta$$

Son flux à travers une spire est

$$\phi'_1 = \frac{\mu_0 I a}{\pi} \ln \frac{\ell+a}{\ell-a}$$

et à travers la bobine complète

$$\Phi' = N\phi'_1 = \frac{\mu_0 N I a}{\pi} \ln \frac{\ell+a}{\ell-a}$$

Le coefficient d'inductance mutuelle entre le fil et la bobine est

$$M = \frac{\mu_0 N a}{\pi} \ln \frac{\ell+a}{\ell-a} = \frac{L}{N}$$

## 4. Étude d'un circuit RLC au voisinage de la résonance – CCINP

1.  $I = \frac{E}{R+r + jL\omega + \frac{1}{jC\omega}}$

$I(\omega) = |I(\omega)|$

$$I(\omega) = \frac{E}{\sqrt{(R+r)^2 + \left(L\omega - \frac{1}{C\omega}\right)^2}}$$

$I_{\max}$  pour  $\omega = \omega_0$   $I_{\max} = \frac{E}{R+r}$

2.  $Z = R+r + j\left(L\omega - \frac{1}{C\omega}\right)$

$Z_x = R+r$

$Z_y = \left(L\omega - \frac{1}{C\omega}\right)$

Pour  $\omega = \omega_0$   $I = \frac{E}{R+r}$

3. Circuit RLC série  $Q = \frac{1}{R_{\text{tot}}} \sqrt{\frac{L}{C}}$

$$Z(\omega) = R_{\text{tot}} \left[ 1 + j \frac{1}{R_{\text{tot}}} \left( L\omega - \frac{1}{C\omega} \right) \right]$$

$$= R_{\text{tot}} \left[ 1 + j Q \left( \sqrt{\frac{L}{C}} \omega - \frac{1}{\sqrt{LC}\omega} \right) \right]$$

$$= R_{\text{tot}} \left[ 1 + j Q \left( \frac{\omega}{\omega_0} - \frac{\omega_0}{\omega} \right) \right]$$

$$Z(\omega) = R_{\text{tot}} \left[ 1 + j Q \left( \frac{\omega^2 - \omega_0^2}{\omega \omega_0} \right) \right]$$

Au tour de la résonance

$$\omega = \omega_0 (1 + \varepsilon) \quad \omega = \omega_0 + \varepsilon \omega_0$$

$$\omega^2 = \omega_0^2 (1 + \varepsilon)^2 = \omega_0^2 (1 + 2\varepsilon)$$

$$Z(\omega) = R_{\text{tot}} \left[ 1 + j Q \frac{2\varepsilon \omega_0^2}{\omega_0^2 (1 + \varepsilon)} \right]$$

$$= R_{\text{tot}} \left[ 1 + j 2Q \left( \frac{\omega - \omega_0}{\omega_0} \right) \right] \text{ ok.}$$

$$U = Z I = Z_m e^{j\varphi_z} I_m e^{j\varphi_i}$$

$$\varphi_z = \varphi_u - \varphi_i$$

$$\cos \varphi = 2Q \frac{1}{\omega_0} = \frac{2}{R_{\text{tot}}} \cdot \sqrt{\frac{L}{C}} \cdot \sqrt{LC} = \frac{2L}{R_{\text{tot}}}$$

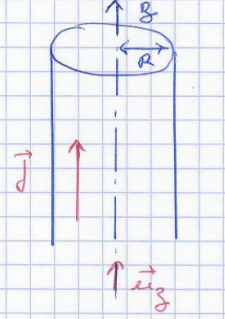
5. Dipôle – CCINP

6. Distributions planes de charges – CCINP

7. Chute d'une barre

8. Oscillateur – MT

9. Cylindre creux



1) Invariances:  
 + translation / z  $\Rightarrow$   $\|\vec{B}\|$  ne dépend pas de z  
 + rot autour de Oz  $\Rightarrow$   $\|\vec{B}\|$  ne dépend pas de  $\theta$   
 $\|\vec{B}\|$  ne dépend que de r.

Symétrie  $\Pi = (\Pi \vec{e}_r \vec{e}_z)$  plan de sym  $= \vec{B} \perp \vec{\Pi}$   
 $\vec{B}_0 = B(r) \vec{e}_\theta$

Contour d'Ampère = cercle de rayon r d'axe Oz  
 $\oint \vec{B} \cdot d\vec{OH} = 2\pi r B(r)$

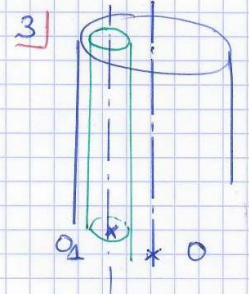
Th d'Ampère  $\mathcal{C} = \oint \vec{B} \cdot d\vec{OH} = \mu_0 I_{\text{encl}}$

Pour  $r < R$   $I_{\text{encl}} = \vec{j} \cdot \vec{S} = \pi r^2 j$   
 $B_0 = \mu_0 j \frac{r}{2}$

Pour  $r > R$   $I_{\text{encl}} = \pi R^2 j$   $B_0 = \mu_0 j \frac{R^2}{2r}$

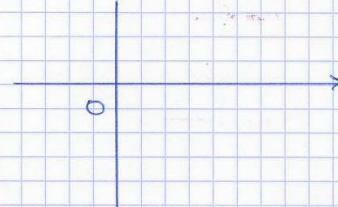
2) Pour  $r < R$   $\vec{B} = \mu_0 j \frac{r}{2} \vec{e}_\theta$  avec  $\vec{e}_z \wedge \vec{e}_r = \vec{e}_\theta$   
 soit  $\vec{B}(M) = \mu_0 j \frac{r}{2} (\vec{e}_z \wedge \vec{e}_r) = \frac{\mu_0}{2} j \vec{e}_z \wedge r \vec{e}_r$   
 $\vec{B}(M) = \frac{\mu_0}{2} \vec{j} \wedge \vec{OM}$

3) Th de superposition  $\vec{O} = \vec{j} - \vec{j}$   
 $\vec{B}_1 = \frac{\mu_0 j}{2} \vec{j} \wedge \vec{OM}$   
 $\vec{B}_2 = -\frac{\mu_0 j}{2} \vec{j} \wedge \vec{OM}$   
 $\vec{B}_{\text{tot}} = \frac{\mu_0}{2} \vec{j} \wedge \vec{OO}_1$  uniforme



10. Champ créé - Centrale

champ créé



1) Pour  $z > 0$   $\varphi(z) = \varphi_0 e^{-3z/a}$   
 Invariances  $\rightarrow \vec{E}(z)$   
 Symétrie  $\rightarrow \vec{E}(M) = E(z) \vec{e}_z$   
 Maxwell-Gauss  $\text{div } \vec{E} = \frac{\rho}{\epsilon_0}$

Pour  $z \leq 0$   $\text{div } \vec{E} = 0 \Rightarrow E(z) = \text{cte.}$   
 Pour  $z > 0$   $\text{div } \vec{E} = \frac{\rho_0}{\epsilon_0} e^{-3z/a} = + \frac{dE}{dz}$   
 soit  $E(z) = -\frac{\rho_0}{\epsilon_0} e^{-3z/a} + \text{cte}'$   
 $E = 0$

2) Th de superposition  $\vec{E}_0 = \frac{\sigma}{2\epsilon_0} \frac{z}{\|z\|} \vec{e}_z$   
 $\vec{E}_{\text{tot}} = \left( \frac{\sigma}{2\epsilon_0} - \frac{\rho_0}{\epsilon_0} e^{-3z/a} \right) \vec{e}_z$  pour  $z > 0$   
 $\vec{E}_{\text{tot}} = \left( -\frac{\sigma}{2\epsilon_0} - \frac{\rho_0}{\epsilon_0} \right) \vec{e}_z$  pour  $z < 0$ .

11. Courant sinusoïdal

12. Pince ampèremétrique

$a = 5 \text{ cm}$      $N = 6^4$   
 $R = 0,2 \Omega$      $r = 0,3 \Omega$   
 $I(t) = I_m \cos(2\pi f t)$

1) Invariances  $\Rightarrow \|\vec{B}\| (r, z)$   
 Sym.  $\vec{B}(\pi) = B(r, z) \vec{e}_\theta$

Th de d'Ampère  $\oint \vec{B} \cdot d\vec{l} = \mu_0 I_{\text{enc}} = \mu_0 (I + Ni)$   
 $2\pi r B(r, z) = \mu_0 (I + Ni)$  do 1 spire carrée  
 $\vec{B}(\pi) = \frac{\mu_0}{2\pi r} (I + Ni)$

2)  $\Phi_{\text{tot}} = \Phi_p + \Phi_{\text{fel}} = \int \vec{B} \cdot d\vec{S}$  avec  $d\vec{S} = a dr \vec{e}_\theta$   
 $\Phi = \frac{\mu_0 a}{2\pi} (I + Ni) \int_a^{2a} \frac{dr}{r} = \frac{\mu_0 a}{2\pi} \ln 2 (I + Ni)$   
 $\Phi_{\text{tot}} = \frac{\mu_0 N a \ln 2}{2\pi} (I + Ni)$

loi de Faraday  $e = - \frac{d\Phi_{\text{tot}}}{dt} = + \mu_0 a f \ln 2 (NI + Ni)$   
 $= (R + r) i$

soit  $(R + r) i_H \cos(\omega t + \varphi) = \mu_0 a f \ln 2 N I_H \cos \omega t + \mu_0 a f \ln 2 N^2 i_H \cos(\omega t + \varphi)$

RSF  $\rightarrow$  Notations complexes  
 $i_H (R + r - \mu_0 a f N^2 \ln 2) e^{i(\omega t + \varphi)} = \mu_0 a f N \ln 2 I_H e^{i\omega t}$

$\frac{i_H}{I_H} = \frac{1}{\frac{R+r}{\mu_0 a f N \ln 2} - N}$

13. Filtrage Mines-Ponts

1) A BF  $\rightarrow \text{---} \parallel \text{---} \rightarrow \text{---}$  ;  $\text{---} \parallel \text{---} \rightarrow \text{---} \rightarrow \Delta = 0$   
 A HF  $\rightarrow \text{---} \parallel \text{---} \rightarrow \text{---} \rightarrow \Delta = 0$

Filtre passe-bande.

2)  $\underline{H} = \frac{S}{V_E} = \frac{Z_{L/C}}{Z_{L/C} + Z_R}$  avec  $\frac{1}{Z_{L/C}} = \frac{1}{j\omega L} + j\omega C$

$\underline{H} = \frac{1}{1 + Z_R \cdot \frac{1}{Z_{L/C}}} = \frac{1}{1 + \frac{R}{j\omega L} + j\omega RC}$

$\underline{H} = \frac{1}{1 + jQ \left( \frac{\omega}{\omega_0} - \frac{\omega_0}{\omega} \right)}$  avec  $\omega_0 = \frac{1}{\sqrt{LC}}$   
 et  $Q = R \sqrt{\frac{C}{L}}$

On veut  $f_0 = \frac{\omega_0}{2\pi} = \frac{1}{2\pi\sqrt{LC}} = 1,0 \text{ kHz}$   
 $Q = \frac{f_0}{\Delta f} = 100$      $\Delta f = \frac{1}{\sqrt{LC}} \times \frac{\sqrt{L}}{R\sqrt{C}} = \frac{1}{RC}$

Power  $R = 1 \text{ k}\Omega$      $C = \frac{1}{R\Delta f} = 100 \text{ pF}$   
 $L = \frac{1}{4\pi^2 f_0^2 C} = 0,25 \text{ mH}$

3)  $@ \omega_E(t) = V_E \cos(2\pi f t)$      $\underline{H}(f) = \frac{1}{1 + jQ \left( \frac{f}{f_0} - \frac{f_0}{f} \right)}$

$G = |H(f)| = \frac{1}{\sqrt{1 + Q^2 \left( \frac{f}{f_0} - \frac{f_0}{f} \right)^2}}$

Power  $f = f_0$      $G = 1$  ; Power  $f = \frac{f_0}{3}$      $G \approx \frac{1}{10}$   
 Power  $f = 3f_0$      $G \approx \frac{1}{300}$      $S = 8 \text{ mV}$

4) Fonction causée

## Moteur linéaire – Mines

1. Le cadre est mobile dans un champ magnétique dépendant du temps. On utilise la loi de Faraday. Le flux de  $\vec{B}$  à travers le cadre est

$$\begin{aligned}\Phi &= \iint \vec{B} \cdot \vec{e}_z dS \\ &= B_0 a \int_x^{x+a} \cos\left(\frac{2\pi x'}{\lambda} - \omega_0 t\right) dx' \\ &= \frac{\lambda B_0 a}{2\pi} \left[ \sin\left(\frac{2\pi(x+a)}{\lambda} - \omega_0 t\right) - \sin\left(\frac{2\pi x}{\lambda} - \omega_0 t\right) \right]\end{aligned}$$

La force électromotrice est  $e = -\frac{d\Phi}{dt}$  ; il faut ici prendre garde au fait que  $x$  est une fonction du temps. Il est commode de remplacer  $x$  par  $vt$  avant de dériver ; on obtient alors, en posant  $\omega_1 = \omega_0 - \frac{2\pi v}{\lambda}$  :

$$\Phi = \frac{\lambda B_0 a}{2\pi} \left[ \sin\left(\frac{2\pi a}{\lambda} - \omega_1 t\right) + \sin(\omega_1 t) \right]$$

soit

$$\begin{aligned}e &= -\frac{\lambda B_0 a}{2\pi} \omega_1 \left[ \cos\left(\frac{2\pi a}{\lambda} - \omega_1 t\right) - \cos(\omega_1 t) \right] \\ &= -B_0 \frac{\lambda a}{2\pi} \left( \omega_0 - \frac{2\pi v}{\lambda} \right) \\ &\quad \left[ \cos\left(\frac{2\pi(a+vt)}{\lambda} - \omega_0 t\right) - \cos\left(\frac{2\pi vt}{\lambda} - \omega_0 t\right) \right] \\ &= B_0 a (v - v_0) \left[ \cos\left(\frac{2\pi x}{\lambda} - \omega_0 t\right) - \cos\left(\frac{2\pi(x+a)}{\lambda} - \omega_0 t\right) \right]\end{aligned}$$

La loi des mailles permet d'en déduire l'intensité du courant induit :

$$i = \frac{e}{R} = \frac{B_0 a (v - v_0)}{R} \left[ \cos\left(\frac{2\pi x}{\lambda} - \omega_0 t\right) - \cos\left(\frac{2\pi(x+a)}{\lambda} - \omega_0 t\right) \right]$$

2. Les forces de Laplace sur les côtés  $BC$  et  $DA$  se compensent. Il reste

$$\begin{aligned}\vec{F} &= i \overrightarrow{AB} \wedge \vec{B} + i \overrightarrow{CD} \wedge \vec{B} \\ &= i \overrightarrow{CD} \wedge (\vec{B}(x+a) - \vec{B}(x)) \\ &= \frac{B_0^2 a^2 (v_0 - v)}{R} \left[ \cos\left(\frac{2\pi x}{\lambda} - \omega_0 t\right) - \cos\left(\frac{2\pi(x+a)}{\lambda} - \omega_0 t\right) \right]^2 \vec{e}_x \\ &= \frac{4B_0^2 a^2 (v_0 - v)}{R} \sin^2\left(\frac{\pi a}{\lambda}\right) \sin^2\left(\frac{\pi(2x+a)}{\lambda} - \omega_0 t\right) \vec{e}_x\end{aligned}$$

La moyenne temporelle de cette force est

$$\langle \vec{F} \rangle = \frac{2B_0^2 a^2 (v_0 - v)}{R} \sin^2\left(\frac{\pi a}{\lambda}\right) \vec{e}_x$$

Le système en moteur lorsqu'il fournit une puissance positive, soit pour

$$\langle \vec{F} \rangle \cdot v \vec{e}_x > 0$$

ce qui correspond à une vitesse  $v \in ]0, v_0[$ .

3. La puissance moyenne est

$$\mathcal{P}_m = \frac{2B_0^2 a^2}{R} \sin^2\left(\frac{\pi a}{\lambda}\right) v (v_0 - v)$$

La puissance moyenne dissipée par effet Joule est

$$\mathcal{P}_J = R \langle i^2 \rangle = \frac{2B_0^2 a^2 (v - v_0)^2}{R} \sin^2\left(\frac{\pi a}{\lambda}\right)$$

On peut définir le rendement par

$$\eta = \frac{\mathcal{P}_m}{\mathcal{P}_m + \mathcal{P}_J} = \frac{v(v_0 - v)}{v(v_0 - v) + (v_0 - v)^2} = \frac{v}{v_0}$$

Le rendement tend vers 1 quand  $v$  tend vers  $v_0$ , mais la puissance tend alors vers 0. La puissance est maximale quand  $v = \frac{v_0}{2}$  ; le rendement est alors égal à  $\frac{1}{2}$ .

## 14. Chauffage par induction – Centrale